

## ستز فتوکاتالیست نیکل نانو ساختار از روش پلیول

اصغر کاظم زاده<sup>۱</sup>، فرنوش گودرزی<sup>۱</sup>، آروین اسکندری<sup>۱</sup>

<sup>۱</sup>دانشیار، پژوهشگاه مواد و انرژی، پژوهشکده نیمه هادی‌ها

<sup>۱</sup>کارشناس ارشد، پژوهشگاه مواد و انرژی، پژوهشکده نیمه هادی‌ها

تاریخ ثبت اولیه: ۱۳۹۱/۳/۷، تاریخ دریافت نسخه اصلاح شده: ۱۳۹۱/۱۱/۲۵، تاریخ پذیرش قطعنامه: ۱۳۹۱/۱۱/۲۹

**چکیده** در این تحقیق نانو بلورهای  $\text{NiWO}_4$  در محیط پلیمری و در دمای پایین برای اولین بار سنتز شدند. واکنش تشکیل بین نیکل کلرید و تنگستات سدیم در دمای  $180^\circ\text{C}$  در مدت ۱۰ ساعت در اتیلن گلیکول انجام شد. ذرات بلورینه شده تنگستات نیکل پس از عملیات حرارتی در  $500^\circ\text{C}$  درجه سانتیگراد به مدت ۵ ساعت حاصل گردیدند. آنالیز حرارتی (TG/DTA) برای بررسی رفتار این ماده تحت حرارت انجام شد. نتایج آنالیز پراش اشعه ایکس (XRD) نیز نشان داد که بهترین دمای کلیپسانیون  $500^\circ\text{C}$  درجه سانتیگراد بوده و با استفاده از میکروسکوپ الکترونی عبوری (TEM) و رویشی (SEM) تصاویر نانو ذرات تنگستات نیکل تهیه شدند. از روش ریتولد، اندازه متوسط بلورهای  $17 \text{ nm}$   $\text{NiWO}_4$  نانو متر محاسبه گردید و متوسط اندازه ذرات  $50 \text{ nm}$  متر نیز از تصاویر TEM تخمین زده شد. پیشترین سطح ویژه برای تعویض حرارتی شده در  $100^\circ\text{C}$  درجه سانتیگراد با استفاده از BET  $105 \text{ m}^2/\text{g}$  متر مربع بر گرم بدست آمد. مطالعه جذب طیف نوری در محدوده طول موج  $350$  تا  $500 \text{ nm}$  نانو متر نشان داد که گاف انرژی این ماده  $3.41 \text{ eV}$  و  $3.25 \text{ eV}$  است و  $3/25$  الکترون ولت و  $12 \text{ watt}$  نیز از تحریک برای قبل و بعد از کلیپسانیون شدن است. جهت بررسی خواص فتوکاتالیستی از متیلن بلور استفاده گردید و محلول در مععرض تابش نور UV با توان  $12 \text{ watt}$  به مدت  $1, 2, 3$  و  $4$  ساعت قرار گرفت. خاصیت رنگ زدایی و فتوکاتالیستی این ماده مطلوب بود.

**واژه‌های کلیدی:** نانو بلور، گاف انرژی، فتوکاتالیست.

## Nano Crystallites of Nickel Tungstate photocatalyst synthesized Via Polyol Method

A.Kazemzadeh<sup>1</sup>, F. Goodarzi<sup>1</sup> and A. Eskandari<sup>1</sup>

<sup>1</sup>Materials and Energy Research Center, Karaj, Iran

**Abstract**  $\text{NiWO}_4$  nano crystallite was synthesized in low-temperature in polymer media for the first time. The formation reaction between nickel chloride and sodium tungstate occurred at  $180^\circ\text{C}$  for 10 hours in ethylene glycol. Crystallized  $\text{NiWO}_4$  particles were successfully obtained after calcination at  $500^\circ\text{C}$  for 4 hours. Thermal analysis (TG/DTA) was used to understand the behavior of nickel tungstate under Heat treatment. X-ray powder diffraction (XRD) results showed that the best calcinating temperature was  $500^\circ\text{C}$ , scanning electron microscopy (SEM) and transmission electron microscopy (TEM) were carried out to show nano sized nickel tungstate crystallites. The crystallite size of this metal tungstate was  $17 \text{ nm}$  by rietveld calculation with particle size of less than  $50 \text{ nm}$  according to the TEM images. The study of optical absorption spectrum in the wavelength range  $350$ – $500 \text{ nm}$  showed the presence of direct band gaps to be  $3.41 \text{ eV}$  and  $3.25 \text{ eV}$  before and after calcination, respectively. The largest surface area obtained from the powders heat treated at  $100^\circ\text{C}$  was to be  $105 \text{ m}^2/\text{gr}$ . Photocatytic test was carried out using methylene blue and by exposing the solution to UV radiation ( $12 \text{ watt}$ ) for  $1, 2$  and  $3$  hours. The obtained results showed satisfying photocatalytic and decolorization properties of  $\text{NiWO}_4$ .

**Keyword:** Nano crystallite, Band gap, Photocatalytic.

\*عهده‌دار مکاتبات

نشانی: پژوهشگاه مواد و انرژی، کرج، کد پستی: ۱۴۱۵۵-۴۷۷۷

تلفن: ۰۲۶-۳۶۲۰۴۱۳۱، دورنگار: پیام‌نگار؛ ایمیل: asg642001@yahoo.com

مطلوب صورت پذیرد. در این فرآیند، ۰/۰۱۱ مول نیکل کلرید در اتیلن گلیکول حل شده، به هم زده می‌شود و سپس تنگستات سدیم به مقدار اضافی به محلول اضافه گردید. سیستم حاصل تحت همزدن مکانیکی قرار گرفت تا پودرها کاملاً حل شوند. در ادامه، محلول در یک ظرف اتوکلاو ریخته شد به طوریکه ۸۰٪ حجم ظرف (۶۴ میلی‌لیتر) پر گردید و درب آن محکم بسته شد. اتوکلاو به مدت ۱۰ ساعت در دمای ۱۸۰°C در گرمکن قرار گرفت و سپس تا دمای اتاق سرد شد. رسوب‌های تشکیل شده جمع آوری، شسته و سانتریفیوژ شدند تا اتیلن گلیکول اضافی و نمک‌های جانبی حذف شوند. پودر نهایی پس چندین بار شستشو با آب و الکل در دمای ۵۰ درجه سانتیگراد به مدت ۲ ساعت خشک شد و سپس در دماهای ۱۰۰، ۳۰۰ و ۵۰۰ درجه سانتیگراد به مدت ۴ ساعت کلسینه شد.

الگوی پراش اشعه ایکس پودر  $\text{NiWO}_4$  با استفاده از دستگاه Unisantis XMD-300 مجهز به منبع تابش Cu K $\alpha$  تهیه شد. اندازه بلور متوسط با بکار گیری آنالیز ریتولد که یک تکنیک مناسب برای تعیین ساختار بلورینگی با استفاده از داده‌های پراش نمونه است محاسبه گردید. با استفاده از آنالیز حرارتی TG و DTA در اتمسفر هوا و سرعت حرارتی دهی ۵°C در دقیقه تا ۷۰۰°C نیز پودر از نظر حرارتی مشخصه سازی شد. سطح ویژه پودر با استفاده از ۰/۰۳۷ میکرومتری از نمونه قبل و بعد از کلسینه کردن با استفاده از آنالیز گرم از نمونه قبلاً و بعد از کلسینه کردن با استفاده از آنالیز BET تعیین گردید. اندازه ذرات و مورفوولوژی نمونه با بکار گیری میکروسکوپ الکترونی رویشی (SEM-S360) و عبوری (TEM-CM200) (cambridge) تعیین و آشکار گردیدند. طیف حاصل شده از آنالیز طیف نگاری UV-نور مرئی با استفاده از دستگاه (UV-Lambda25) در محدوده طول موج ۱۹۰-۱۱۰۰ نانومتر نیز شکاف انرژی  $\text{NiWO}_4$  قبل و بعد از کلسینه کردن بدست آورده شد.

متیلن بلو(MB) برای ارزیابی فعالیت فوتوكاتالیستی  $\text{NiWO}_4$  استفاده شد. ۰/۰۰۶ گرم از فوتوكاتالیست در ۳ میلی‌لیتر محلول رنگی با غلظت مشخص ۰/۰۰۷ میکرو مolar

## ۱- مقدمه

اخیراً ستر نمک‌های فلزی تنگستن برای کابرد در زمینه‌های ابزارهای مایکروویو، سلول‌های سوختی، فتوآندها، فوتوكاتالیست‌ها و ذخیره اطلاعات مرکز توجه محققین بوده‌اند [۳-۱]. اما علی‌رغم کاربردهای بالقوه این مواد، تحقیقات اندکی برای ستر و بررسی خواص فوتوكاتالیستی آنها انجام شده است. در میان خانواده نمک‌های فلزی تنگستن نیز کمترین مطالعه روی تنگستات نیکل (NiWO<sub>4</sub>) که کاربردهای فوتوكاتالیستی، حسگر رطوبت و NiWO<sub>4</sub> دی‌الکتریکی دارد انجام گردیده است [۷-۴]. ساختار مونوکلینیک داشته که از اکسیزن‌هایی که به صورت شش وجهی فشرده شده‌اند و دارای یون‌های تنگستن و نیکل در مکان‌های هشت وجهی هستند تشکیل شده است [۵]. روش‌های مختلفی برای ستر نمک‌های فلزی تنگستن با اندازه‌های نانو متری و کنترل شده بکار برده شده‌اند از جمله: روش سونو شیمیابی [۶]، روش مکانیکی شیمیابی [۶]، روش مایکروویو [۱۰] و روش نمک مذاب [۴]. از میان این روش‌ها، ستر بر پایه محلول پلیمری که پلیول نام گرفته است منجر به تشکیل ذرات همگن‌تری می‌شود. در این فرآیند، مواد در محیط پلی‌الکلی مثل اتیلن گلیکول واکنش داده و نانو ذرات تشکیل می‌شوند [۱۱].

در این تحقیق، نتایج حاصل از مشخصه‌سازی تنگستات نیکل ستر شده از روش پلیول در دمای پایین و نیز خواص فوتوكاتالیستی آن برای رنگزدایی متیلن بلو گزارش خواهد شد. مواد اولیه استفاده شده شامل نیکل کلرید و سدیم تنگستات می‌باشند که در اتیلن گلیکول واکنش می‌دهند تا تنگستات نیکل نانو ساختار تشکیل شود.

## ۲- نحوه آزمایش

$\text{Na}_2\text{WO}_4$  و  $\text{NiCl}_2 \cdot 6\text{H}_2\text{O}$  به عنوان مواد اولیه برای ستر تنگستات نیکل استفاده شدند. مقادیر مناسبی از مواد در اتیلن گلیکول حل شده و سپس در اتوکلاو قرار گرفتند تا در دمای ۱۸۰°C و تحت فشار ایجاد شده توسط خود مواد واکنش

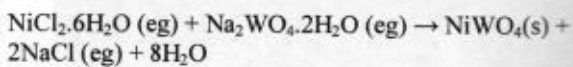
همانطور که می‌توان دید، در پایین‌ترین دمای کلسینه کردن ( $100^{\circ}\text{C}$ ) پیک‌های مشخصه پهن بوده که می‌تواند به علت آمورف بودن ساختار یا اندازه بلورهای خیلی ریز کمتر از ۱۰ نانو متر باشد. همچنین واضح است که با افزایش دمای کلسینه شدن، پیک‌ها تیز تر شده و شدت آنها افزایش می‌یابد. آنالیز ریتولد بر اساس الگوی XRD تأیید می‌کند که ساختار بلورینگی نمونه‌ها مونوکلینیک است و اندازه بلورها برای نمونه کلسینه شده در دمای  $500^{\circ}\text{C}$  به طور متوسط ۱۷ نانو متر محاسبه گردید.

تصاویر حاصل از SEM و TEM نانوذرات تنگستات نیکل نیز به ترتیب در شکل‌های ۲ و ۳ آورده شده‌اند. نانوذرات به هم چسبیده‌ای که تقریباً کروی شکل هستند در تصاویر SEM تهیه شده قابل مشاهده می‌باشند. در تصویر ۲-الف ذرات به صورت آگلومره قابل مشاهده هستند و در تصویر ۲-ب با بزرگنمایی بالاتر آشکار است که هر ذره بزرگ شامل ذرات کوچکتری با اندازه کمتر از ۱۰۰ نانومتر می‌باشد.

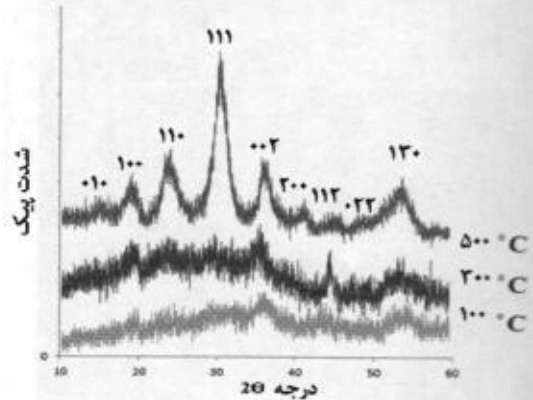
در آب ریخته شد. محفظه فوتوكاتالیستی مجهز به لامپ جیوه‌ای ۱۲ وات بود که محلول پس از قرار گرفتن در محیط تاریک به مدت ۲۴ ساعت در آن محفظه قرار گرفت. دوره‌های آزمایش ۶۰ دقیقه‌ای بوده که پس از هر دوره در معرض نور UV قرار گرفتن، پودر  $\text{NiWO}_4$  از محلول حذف شد. در پایان طیف‌های نور عبوری از محلول در محدوده ۱۰۰۰-۲۰۰ نانومتر در شرایط محیطی ضبط گردید تا میزان رنگزدایی این فوتوكاتالیست بررسی شود.

### ۳- نتایج و بحث

واکنش پیشنهادی برای تشکیل تنگستات نیکل در این کار به شرح زیر است:



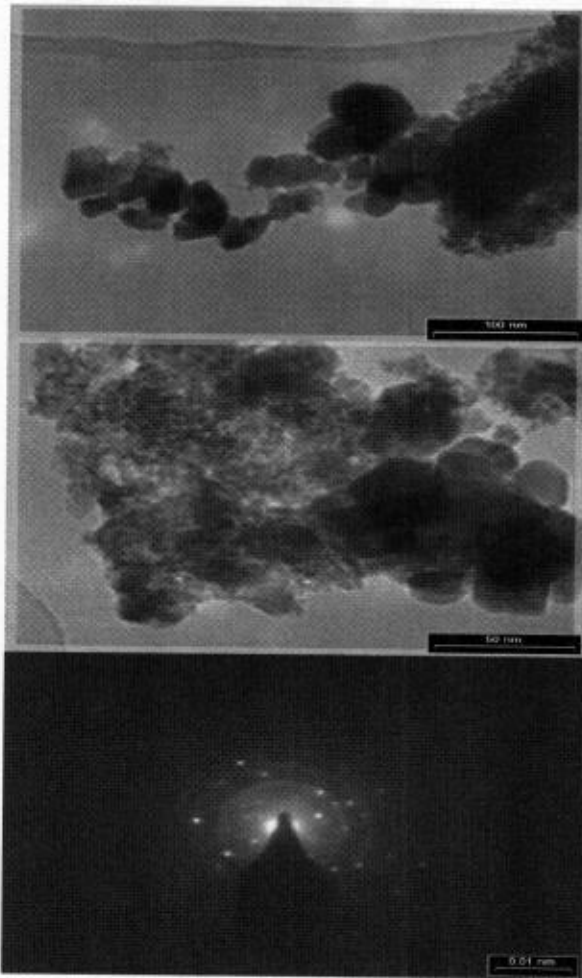
که (eg) نمایشگر محیط اتیلن گلیکول است. ساختار بلورینگی نمونه‌های سنتز شده از طریق پراش XRD مشخصه سازی شد. شکل ۱ نمایشگر الگوی XRD برای پودر‌های تنگستات نیکل است که در دماهای  $100^{\circ}\text{C}$ ،  $300^{\circ}\text{C}$  و  $500^{\circ}\text{C}$  درجه سانتیگراد به مدت ۴ ساعت عملیات حرارتی شده‌اند. بر اساس الگوی XRD می‌توان نتیجه گرفت که واکنش تکمیل شدن و ماده حاصل شده تنگستات نیکل می‌باشد.



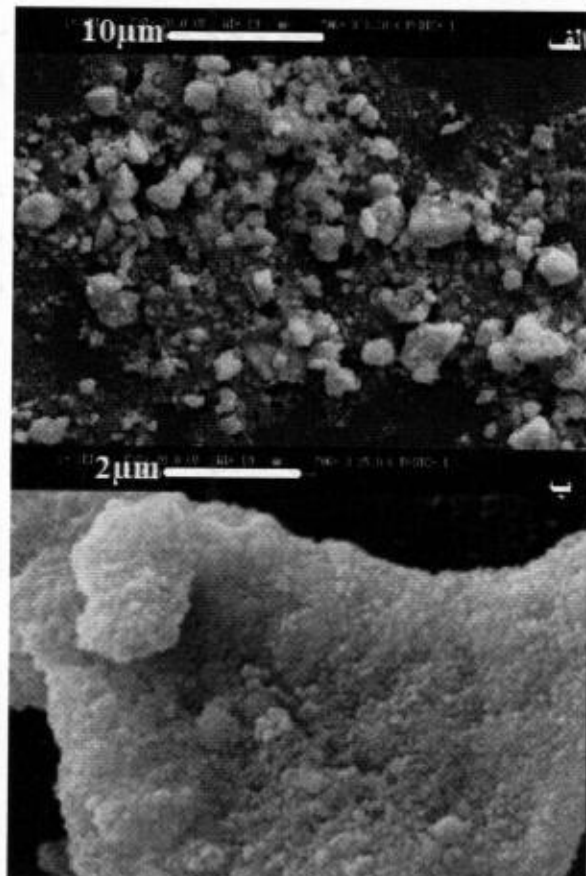
شکل ۱. پراش اشعه ایکس نمونه‌های کلسینه شده در  $100^{\circ}\text{C}$ ،  $300^{\circ}\text{C}$  و  $500^{\circ}\text{C}$

$$\alpha h\nu = B (h\nu - E_g)^n \quad (\text{معادله ۱})$$

که  $\alpha$  ثابت جذب مواد،  $h$  ثابت پلانک،  $v$  فرکانس تابش،  $B$  یک ثابت،  $E_g$  انرژی شکاف انرژی و  $n$  نیز بستگی به نوع عبوری دارد. مقدار  $n$  برای عبور های مستقیم  $< 1/5$  بوده که شکاف انرژی مستقیم قبل و بعد از کلیینه شدن  $\text{NiWO}_4$  را بر همین اساس و با استفاده از نمودار شکل ۴ بدست آورده شدند. این شکل نمودار  $(\alpha h\nu)^2$  بر حسب  $(h\nu)$  (برای نمونه‌ها را نشان می‌دهد. وقتی ضرایب جذب صفر می‌باشند، مقدادر بدست آمده از برونویابی روی محور انرژی مقدار شکاف انرژی مستقیم هستند که به ترتیب  $2/41$  و  $2/25$  الکترون ولت برای نمونه قبل و بعد از کلیینه شدن می‌باشند.



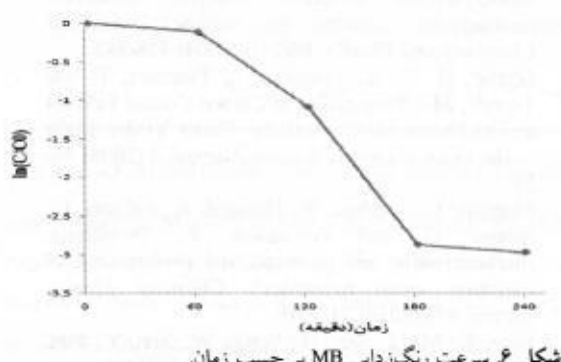
شکل ۳ تصاویر TEM نانو ذرات تنگستات نیکل و تصویر SAED آنها.



شکل ۲. تصاویر SEM نانو ذرات تنگستات نیکل

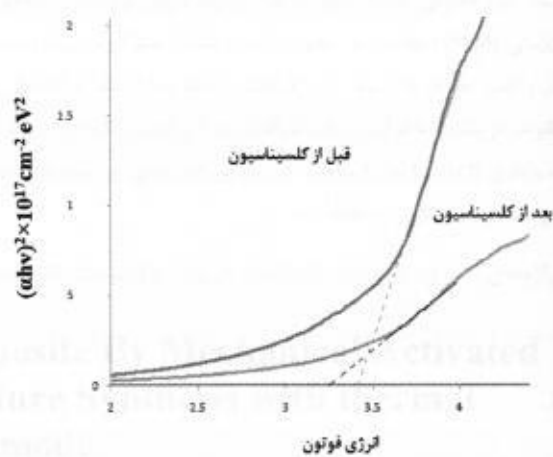
برای دقت بیشتر و تمرکز روی مورفولوژی ذرات تصاویر TEM آنها بررسی شد که نشان داد اندازه ذرات محدوده گسترده‌ای دارد و ذرات ریز و درشت در شکل قابل رؤیت هستند. مورفولوژی ذرات ریز کروی به نظر می‌رسد اما مورفولوژی ذرات درشت‌تر شش وجهی و حتی چهار وجهی می‌باشد. این تصاویر تأیید می‌کنند که اندازه ذرات نمونه در محدوده ۱۰ تا ۳۰ نانومتر می‌باشد. شکل الگوی پراش منطقه‌ای الکترون (SAED) نیز در انتهای شکل ۳ آورده شده است که نشان می‌دهد نانو ذرات  $\text{NiWO}_4$  که در دمای  $500^{\circ}\text{C}$  کلیینه شده‌اند بلوریه شده‌اند. این الگو شامل یک سری نقاط گستته است که نمایشگر بلورینگ‌ها می‌باشد. برای ارزیابی شکاف انرژی مواد سنتز شده از طیف‌های جذب UV-نور مرئی ثبت شدند و بر اساس معادله ۱ نمودارها رسم و شکاف انرژی بدست آورده شد.

در نمودار رنگ زدایی بر حسب زمان (شکل ۵) می‌توان مشاهده کرد  $\text{NiWO}_4$  فعالیت فوتوكاتالیستی خوبی برای رنگ زدایی متیلن بلو داشته و پس از ۲۴۰ دقیقه تا ۹۵٪ بازده داشته است. از شکل ۶ می‌توان نتیجه گرفت که از آنجا که نمودار خطی نیست سرعت واکنش درجه اول نبوده و نیز با تشکیل محصولات میانی و جذب آنها روی سطح فوتوكاتالیست، سرعت واکنش با مرور زمان کاهش می‌یابد.



شکل ۶ سرعت رنگزدایی MB بر حسب زمان.

با بکارگیری تست BET سطح ویژه برای دو نمونه یکی قبل و دیگری بعد از کلیینه کردن در دمای  $500^{\circ}\text{C}$  به مدت ۵ ساعت بدست آورده شد که به ترتیب  $10539\text{ متر مربع بر گرم}$  و  $3437\text{ متر مربع بر گرم}$  تعیین شدند. دلیل این کاهش سطح ویژه می‌تواند به هم پیوستن ذرات و نیز رشد ذرات و درشت تر شدن آنها در دمای بالا باشد. فعالیت فوتوكاتالیستی  $\text{NiWO}_4$  برای رنگزدایی MB بررسی شد. ابتدا محلول‌ها در حضور فوتوكاتالیست در تاریکی قرار گرفتند تا فرآیندهای جذب و واجذب به تعادل برسند. رفتار رنگ زدایی از MB در شکل ۵ و سرعت رنگ زدایی در شکل ۶ رسم شده‌اند.

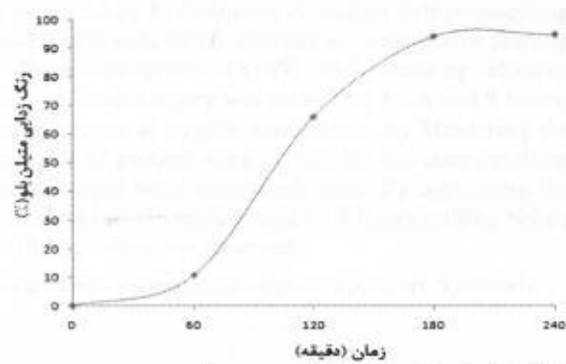


شکل ۴. شکاف انرژی مستقیم پورستر شده، قبل و بعد از کلیینه کردن

در این مقاله، نانو بلورهای تنگستات نیکل در محیط اتیلن گلیکول در دمای  $180^{\circ}\text{C}$  ستر شدند تا فعالیت فوتوكاتالیستی این ماده برای حذف مواد رنگی آلی (متیلن بلو به عنوان نمونه استفاده شد) از آب بررسی گردد. اندازه متوسط بلورها ۱۷ نانو متر بود. همچنین دمای بهینه کلیینه کردن  $500^{\circ}\text{C}$  و مدت زمان ۴ ساعت تعیین شد تا پودرهای ستر شده بلورینه شوند. شکاف انرژی مستقیم  $3/25$  الکترون ولت حاصل شد و این ماده فعالیت فوتوكاتالیستی خوبی نیز به عنوان یک فوتوكاتالیست جدید نشان داد.

#### مراجع

- Kumar, G. B., Sivaiah, K. and Buddhudu, S., "Synthesis and characterization of  $\text{ZnWO}_4$  ceramic powder", *Ceramics International*, 36 (2010) 199-202.
- Mancheva, M. N., Iordanova, R. S., Klissurski, D. G., Tyuliev, G. T. and Kunev, B. N., "Direct Mechanochemical Synthesis of Nanocrystalline  $\text{NiWO}_4$ ", *J. Phys. Chem. C*, 111 (2007) 1101-1104.



شکل ۵ نمودار رنگزدایی از MB بر حسب زمان.

3. Oliveira, A. L. M. d., Ferreira, J. M., Silva, M. r. R. S., Souza, S. C. d., Vieira, F. T. G., Longo, E., Souza, A. G. and Santos, I. d. M. G., "Influence of the thermal treatment in the crystallization of NiWO<sub>4</sub> and ZnWO<sub>4</sub>", *J Therm Anal Calorim.* 97 (2009) 167-172.
4. Pandey, P. K., Bhave, N. S. and Kharat, R. B., "Structural, optical, electrical and photovoltaic electrochemical characterization of spray deposited NiWO<sub>4</sub> thin films", *Electrochimica Acta.* 51 (2006) 4659-4664.
5. Kloprogge, J. T., Weier, M. L., Duong, L. V. and Frost, R. L., "Microwave assisted synthesis and characterisation of divalent metal tungstate nanocrystalline minerals: ferberite, hübnerite, sanmartinitite, scheelite and stolzite", *Materials Chemistry and Physics.* 88(2-3) (2004) 438-443.
6. Ghafar, H. H. A., Inagaki, M., Tsumura, T. and Toyoda, M., "Preparation of Carbon Coated FeWO<sub>4</sub> and its Photocatalytic Activity Under Visible Light", *The Open Materials Science Journal.* 2 (2008) 56-59.
7. Montini, T., Gombac, V., Hameed, A., Felisari, L., Adami, G. and Fornasiero, P., "Synthesis, characterization and photocatalytic performance of transition metal tungstates", *Chemical Physics Letters.* 498 (2010) 113-119.
8. Song, Z., Ma, J., Sun, H., Wang, W., Sun, Y., Sun, L., Liu, Z. and Gao, C., "Synthesis of NiWO<sub>4</sub> nanoparticles in low-temperature molten salt medium", *Ceramics International.* 35 (2009) 2675-2678.
9. Kuzmin, A., Purans, J., Kalendarev, R., Pailharey, D. and Mathey, Y., "XAS, XRD, AFM and Raman studies of nickel tungstate electrochromic thin films", *Electrochimica Acta.* 46 (2001) 2233-2236.
10. GENG, J., ZHANG, J.-R., HONG, J.-M. and ZHU, J.-J., "Sonochemical Synthesis Of PbW<sub>04</sub> Nanoparticles", *International Journal Of Modern Physics B.* 19 (2005) 2734-2739.
11. Titipun, T., Anukorn, P. and Somchai, T., "Characterization of MeWO<sub>4</sub> (Me=Ba, Sr and Ca) nanocrystallines prepared by sonochemical method", *Applied surface science.* 254 (2008) 7581-7585.